

## 電子計算機之設計

謝清俊

交通大學電子科學碩士  
交通大學工學院講師

在現在科學昌明的社會裡，電子計算機已成為工商業上、科學上，以及社會各方面不可缺少的工具，歐美各國，已使用的非常普遍，而在臺灣，却使用的很少。然而我們要使經濟繁榮工業起飛，電子計算機的使用，將是加速我們進步最有力的工具。我們可以預言，在不久的將來，臺灣將普遍的使用電子計算機，做種種的工作。交大這次製造實驗用電子計算機，其目的有二，第一是做教學實驗之用，學生可以利用這個計算機，了解計算機內部的構造及其計算原理，同時也可應用此計算機做各種實驗。第二、就是希望能以此為開端，這是我們自己為自己製造電子計算機的一個最基本的嘗試，我們認為，這是臺灣發展電子工業之中應該做的事情，同時我們更殷切的期望，在不久的將來，我們自己能設計、製造各式各樣的電子計算機，普遍應用於社會各方面。

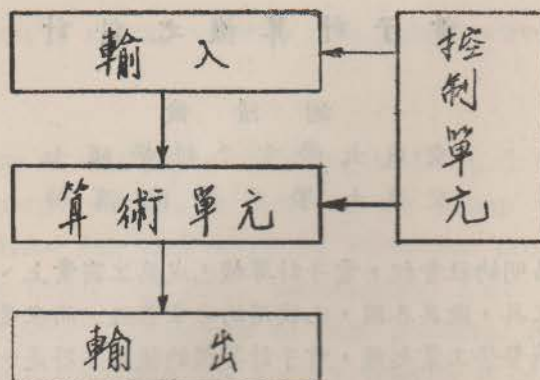
此電子計算機是在交通大學研究所，電子計算機設計課程中作者與孫國祥、林子浩、鄭內陸、陳英亮四位同學共用實驗的結果，粗陋之處，還望各位先進，不吝賜教是幸。

### 一、概述

此計算機是依照通用式電子計算機(General Purpose Computer)的型式而設計，因限於經費的困難，故精神上是以「克難」的方式予以完成。使用的器材，均盡量以交大目前所有為限，使用的電晶體是2N402及2N403二種P-N-P型式的電晶體，嚴格說來此二種電晶體並非適用於交換電路之電晶體(Switching Transistor)，但實驗後發現尚可利用，於是為節省經費，便決定採用。電子計算機本身，採用方塊組合的型式，把每一個小單元，如反相器(Invertor)閘門(Gates)及正反器(Flip-flop)等等，製成一個小的單位，然後，再把這些單位，組合成電子計算機，因此它可以很方便的安裝及拆解，便於做各種實驗。

此計算機的構造方塊圖如圖一所表示，圖中沒有記憶單元(Memory Element)是因為經費有限，無力購買磁芯，希望在下學年度內，能購些磁蕊，安裝記憶單元。輸入與輸出部份，均取克難方式，輸入採取按鈕式，而輸出採用明滅燈泡表示。

此計算機的操作頻率有三：①5kc/sec ②1c/sec ③按鈕一次操作一次，運轉方式以串連運轉為主，運算數字長度以6位二進位數字為限，其中包括一位符號位在內，可以完成之運算有七種，即為①加，②減，③乘，④位移，⑤輸入，⑥偶變，⑦傳送。

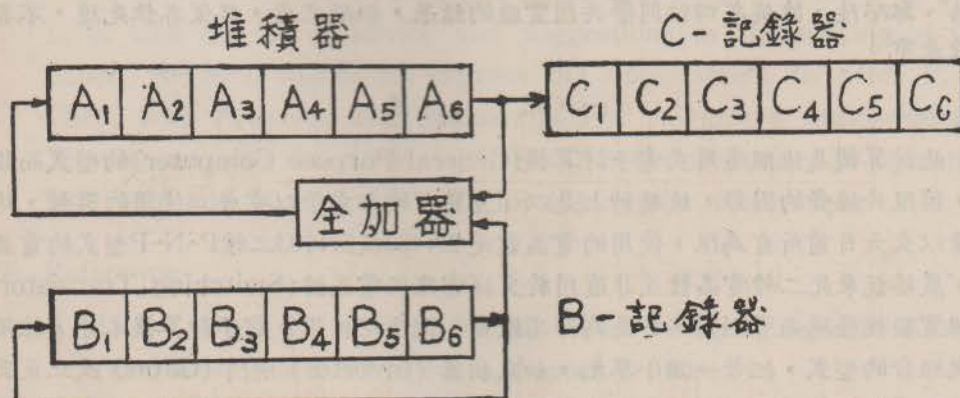


圖一 電子計算機構造方塊圖

## 二、邏輯設計

### (1) 算術單元之構造

算術單元是本計算機的重心，七種運算工作，均在此單元內完成。算術單元的構造如圖二。圖中A堆積器，B記錄器及C記錄器的長度均為最大可計算數字的長度



圖二 算術單元構造方塊圖。

(6位二進位數字)，故A.B及C皆由六個正反器所組成，它的七種運算方程式，如下表示。

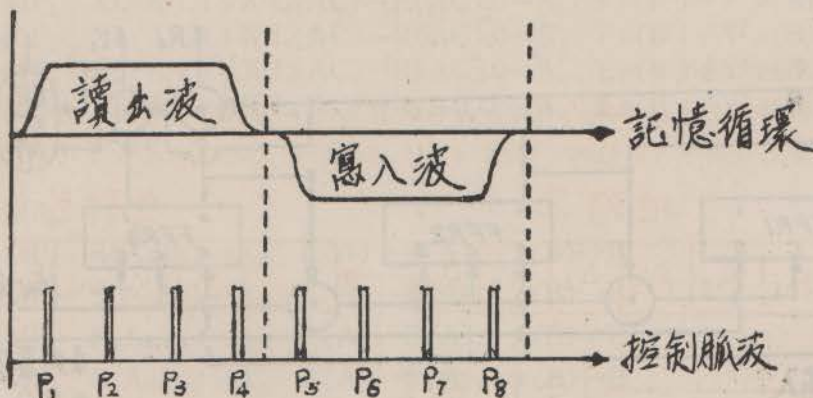
- |    |                        |                   |
|----|------------------------|-------------------|
| ①加 | $S(A,B) \rightarrow A$ | $0 \rightarrow B$ |
| ②減 | $D(A,B) \rightarrow A$ | $0 \rightarrow B$ |

- ③乘  $A \times B \rightarrow (AC)$   $0 \rightarrow B$
- ④輸入  $B \rightarrow A$   $0 \rightarrow B$
- ⑤位移  $A \times 2^N$ , 其中  $N$  為位移次數
- ⑥偶變  $B' \rightarrow A$   $0 \rightarrow B$
- ⑦傳送  $B \rightarrow A$   $B \rightarrow B$

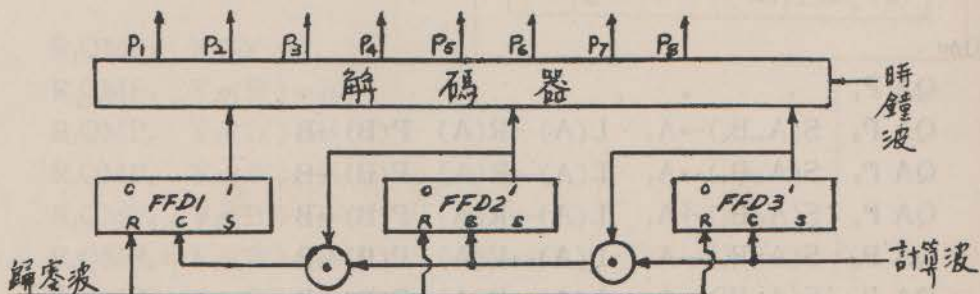
式中  $S(A.B)$  表示,  $A$  與  $B$  之和,  $D(A.B)$  表示  $A$  與  $B$  之差, 而  $B'$  表示  $B$  之對偶數 (Complement)

## (2) 控制線路之邏輯設計

由於此電子計算機採用串連運轉方式, 每個字長度為 6 位二進位數, 因此每一次完全的運算至少需要六個時間脈波, 其時間脈波之時間分配如圖三所表示。為產生這種時間脈波, 需一脈波產生器及一計數器 (Counter), 計數器之構造方塊圖如圖四。

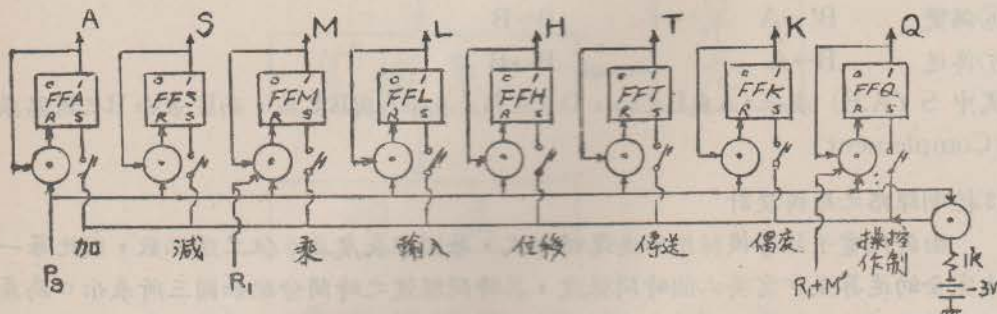


圖三. 時間控制脈波之時間分配

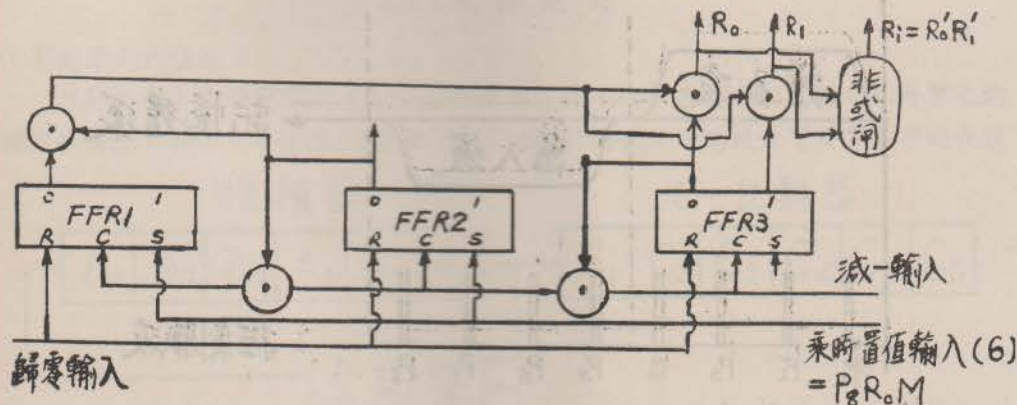


圖四. 計數器與時間脈波

輸入取按鈕式，其輸入控制如圖五，其中Q為控制操作方程，當Q=1時開始運算，Q=0時停止運算。由於上述各種控制函數，算術單元中七種運算方程可控制如下：



圖五 輸入控制構造圖



圖六 步驟記錄器之構造

①加

QA P <sub>1</sub>	$S(A_6 \cdot B_6) \rightarrow A_1$	$L(A) \rightarrow R(A)$	$P(B) \rightarrow B$
QA P <sub>2</sub>	$S(A_6 \cdot B_6) \rightarrow A_1$	$L(A) \rightarrow R(A)$	$P(B) \rightarrow B$
QA P <sub>3</sub>	$S(A_6 \cdot B_6) \rightarrow A_1$	$L(A) \rightarrow R(A)$	$P(B) \rightarrow B$
QA P <sub>4</sub>	$S(A_6 \cdot B_6) \rightarrow A_1$	$L(A) \rightarrow R(A)$	$P(B) \rightarrow B$
QA P <sub>5</sub>	$S(A_6 \cdot B_6) \rightarrow A_1$	$L(A) \rightarrow R(A)$	$P(B) \rightarrow B$
QA P <sub>6</sub>	$S(A_6 \cdot B_1) \rightarrow A_1$	$L(A) \rightarrow R(A)$	$P(B) \rightarrow B$
QA P <sub>7</sub>	$S(A_6 \cdot B_6) \rightarrow A_1$	$L(A) \rightarrow R(A)$	$P(B) \rightarrow B$
QA P <sub>8</sub>	$0 \rightarrow A_1$	$0 \rightarrow Q$	

(2) 減

$QSP_1$			
$QSP_2$	$S(A_6, B_6) \rightarrow A_1$	$L(A) \rightarrow R(A)$	$\rho(B) \rightarrow B$
$QSP_3$	$S(A_6, B_6) \rightarrow A_1$	$L(A) \rightarrow R(A)$	$\rho(B) \rightarrow B$
$QSP_4$	$S(A_6, B_6) \rightarrow A_1$	$L(A) \rightarrow R(A)$	$\rho(B) \rightarrow B$
$QSP_5$	$S(A_7, B_6) \rightarrow A_1$	$L(A) \rightarrow R(A)$	$\rho(B) \rightarrow B$
$QSP_6$	$S(A_6, B_6) \rightarrow A_1$	$L(A) \rightarrow R(A)$	$\rho(B) \rightarrow B$
$QSP_7$	$S(A_6, B_6) \rightarrow A_1$	$L(A) \rightarrow R(A)$	$\rho(B) \rightarrow B$
$QSP_8$	$0 \rightarrow Q$	$0 \rightarrow S$	

(3) 乘

$R_o QMP_1$	$A_1 \cdot 1 + A'_1 \cdot 0 \rightarrow X$	$B_1 \cdot 2 + B'_1 \cdot 0 \rightarrow Y$	$0 \rightarrow C$
$R_o QMP_2$	$XL(A'C) + X'L(AC) \rightarrow R(AC), 0 \rightarrow A_1$	$Y\rho(B') + Y'\rho(B) \rightarrow B$	
$R_o QMP_3$	$XL(A'C) + X'L(AC) \rightarrow R(AC), 0 \rightarrow A_1$	$Y\rho(B') + Y'\rho(B) \rightarrow B$	
$R_o QMP_4$	$XL(A'C) + X'L(AC) \rightarrow R(AC), 0 \rightarrow A_1$	$Y\rho(B') + Y'\rho(B) \rightarrow B$	
$R_o QMP_5$	$XL(A'C) + X'L(AC) \rightarrow R(AC), 0 \rightarrow A_1$	$Y\rho(B') + Y'\rho(B) \rightarrow B$	
$R_o QMP_6$	$XL(A'C) + X'L(AC) \rightarrow R(AC), 0 \rightarrow A_1$	$Y\rho(B') + Y'\rho(B) \rightarrow B$	
$R_o QMP_7$	$XL(A'C) + X'L(AC) \rightarrow R(AC), 0 \rightarrow A_1$	$Y\rho(B') + Y'\rho(B) \rightarrow B$	
$R_o QMP_8$	$6 \rightarrow R$		

$R_i QMP_1$			
$C_6 R_i QMP_2$	$S(A_6, B_6) \rightarrow A_1, L(A) \rightarrow R(A), \rho(B) \rightarrow B$		
$C_6 R_i QMP_3$	$S(A_6, B_6) \rightarrow A_1, L(A) \rightarrow R(A), \rho(B) \rightarrow B$		
$C_6 R_i QMP_4$	$S(A_6, B_6) \rightarrow A_1, L(A) \rightarrow R(A), \rho(B) \rightarrow B$		
$C_6 R_i QMP_5$	$S(A_6, B_6) \rightarrow A_1, L(A) \rightarrow R(A), \rho(B) \rightarrow B$		
$C_6 R_i QMP_6$	$S(A_6, B_6) \rightarrow A_1, L(A) \rightarrow R(A), \rho(B) \rightarrow B$		
$C_6 R_i QMP_7$	$S(A_6, B_6) \rightarrow A_1, L(A) \rightarrow R(A), \rho(B) \rightarrow B$		
$R_i QMP_8$	$L(A, C) \rightarrow R(A), (R-1) \rightarrow R$		

$R_i QMP_1$	$X \oplus Y \rightarrow A_1$
$R_i QMP_2$	$Y\rho(B') \rightarrow B$
$R_i QMP_3$	$Y\rho(B') \rightarrow B$
$R_i QMP_4$	$Y\rho(B') \rightarrow B$
$R_i QMP_5$	$Y\rho(B') \rightarrow B$
$R_i QMP_6$	$Y\rho(B') \rightarrow B$
$R_i QMP_7$	$Y\rho(B') \rightarrow B$
$R_i QMP_8$	$0 \rightarrow M, 0 \rightarrow Q, (R-1) \rightarrow R, 0 \rightarrow X, 0 \rightarrow Y$

其中  $R_i = R_2$  到  $R_6$  而  $R$  為一步驟計數器 (Step Counter)

## ④輸入

QLP <sub>1</sub>	0→A
QLP <sub>2</sub>	S(A <sub>6</sub> ,B <sub>6</sub> )→A <sub>1</sub> , L(A)→R(A), L(B)→R(B), 0→B <sub>1</sub>
QLP <sub>3</sub>	S(A <sub>6</sub> ,B <sub>6</sub> )→A <sub>1</sub> , L(A)→R(A), L(B)→R(B), 0→B <sub>1</sub>
QLP <sub>4</sub>	S(A <sub>6</sub> ,B <sub>6</sub> )→A <sub>1</sub> , L(A)→R(A), L(B)→R(B), 0→B <sub>1</sub>
QLP <sub>5</sub>	S(A <sub>6</sub> ,B <sub>6</sub> )→A <sub>1</sub> , L(A)→R(A), L(B)→R(B), 0→B <sub>1</sub>
QLP <sub>6</sub>	S(A <sub>6</sub> ,B <sub>6</sub> )→A <sub>1</sub> , L(A)→R(A), L(B)→R(B), 0→B <sub>1</sub>
QLP <sub>7</sub>	S(A <sub>6</sub> ,B <sub>6</sub> )→A <sub>1</sub> , L(A)→R(A), L(B)→R(B), 0→B <sub>1</sub>
QLP <sub>8</sub>	0→Q                    0→L

## ⑤位移n次

QHP <sub>1</sub>	n→R
QHP <sub>2</sub>	R <sub>o</sub> 'P(A)→A (R-1)→R
QHP <sub>3</sub>	R <sub>o</sub> 'P(A)→A (R-1)→R
QHP <sub>4</sub>	R <sub>o</sub> 'P(A)→A (R-1)→R
QHP <sub>5</sub>	R <sub>o</sub> 'P(A)→A (R-1)→R
QHP <sub>6</sub>	R <sub>o</sub> 'P(A)→A (R-1)→R
QHP <sub>7</sub>	R <sub>o</sub> 'P(A)→A (R-1)→R
QHP <sub>8</sub>	0→Q                    0→H

## ⑥偶變 (2的偶變數)

QKP <sub>1</sub>	0→A
QKP <sub>2</sub>	S(A <sub>6</sub> ,B <sub>6</sub> )→A, L(A)→R(A), L(B)→R(B), 0→B <sub>1</sub>
QKP <sub>3</sub>	S(A <sub>6</sub> ,B <sub>6</sub> )→A, L(A)→R(A), L(B)→R(B), 0→B <sub>1</sub>
QKP <sub>4</sub>	S(A <sub>6</sub> ,B <sub>6</sub> )→A, L(A)→R(A), L(B)→R(B), 0→B <sub>1</sub>
QKP <sub>5</sub>	S(A <sub>6</sub> ,B <sub>6</sub> )→A, L(A)→R(A), L(B)→R(B), 0→B <sub>1</sub>
QKP <sub>6</sub>	S(A <sub>6</sub> ,B <sub>6</sub> )→A, L(A)→R(A), L(B)→R(B), 0→B <sub>1</sub>
QKP <sub>7</sub>	S(A <sub>6</sub> ,B <sub>6</sub> )→A, L(A)→R(A), L(B)→R(B), 0→B <sub>1</sub>
QKP <sub>8</sub>	0→C,                    0→Q,

## ⑦傳送

QTP <sub>1</sub>	0→A
QTP <sub>2</sub>	S(A <sub>6</sub> ,B <sub>6</sub> )→A, L(A)→R(A), ρ(B)→B
QTP <sub>3</sub>	S(A <sub>6</sub> ,B <sub>6</sub> )→A, L(A)→R(A), ρ(B)→B
QTP <sub>4</sub>	S(A <sub>6</sub> ,B <sub>6</sub> )→A, L(A)→R(A), ρ(B)→B
QTP <sub>5</sub>	S(A <sub>6</sub> ,B <sub>6</sub> )→A, L(A)→R(A), ρ(B)→B
QTP <sub>6</sub>	S(A <sub>6</sub> ,B <sub>6</sub> )→A, L(A)→R(A), ρ(B)→B
QTP <sub>7</sub>	S(A <sub>6</sub> ,B <sub>6</sub> )→A, L(A)→R(A), ρ(B)→B
QTP <sub>8</sub>	0→T                    0→R

根據以上之控制方程，解出對每個單位之輸入如下：

①Q記錄器

$$P_s(A + S + R_1 M + L + H + K + T) \cdot O \rightarrow Q$$

化簡為

$$QP_s(M' + R_1 M) \cdot O \rightarrow Q$$

即Q記錄器之歸零輸入為  $QP_s(M' + R_1 M) = QP_s(M' + R_1)$

②對各輸入控制

$$A \cdot P_s \cdot 0 \rightarrow A, \quad SP_s \cdot 0 \rightarrow S, \quad LP_s \cdot 0 \rightarrow L$$

$$H \cdot P_s \cdot 0 \rightarrow H, \quad TP_s \cdot 0 \rightarrow T, \quad KP_s \cdot 0 \rightarrow K$$

$$M \cdot R_1 P_s \cdot 0 \rightarrow M$$

③對R步驟計數器的輸入

$$(1) \text{置值輸入 } (P_s M R_0) \cdot 6 \rightarrow R$$

$$(2) \text{減一輸入 } (HP_1 + R'_0 MP_s)(R - 1) \rightarrow R$$

此處  $P_i = P_2 + P_3 + P_4 + P_5 + P_6 + P_7$  餘下仿此

④對各符號記錄器之輸入

$$(1) X: (R_0 MP_1) A_1 + (R_1 MP_s) \cdot 0 \rightarrow X$$

$$(2) Y: (R_0 MP_1) B_1 + (R_1 MP_s) \cdot 0 \rightarrow Y$$

⑤對A堆積器

$$(1) A_1: P_i[(A + L + C_6 R_1 M + T)S(A_6, B_6) + (S + K)S(A_6, B_6') + R_0' HA_6] + P_1 R_0 M \cdot O + (X \oplus Y) R_1 P_1 M \rightarrow A_1$$

$$(2) A: P_i[(A + S + MR_1 + L + K + R_0 H + T) L(A) \rightarrow R(A), P_1(L + K + T) \cdot 0 \rightarrow A]$$

化簡為  $P_i[M'H' + R_1 M + R_0 H] L(A) \rightarrow R(A), P_1(L + K + T) \cdot 0 \rightarrow A$

⑥對B一記錄器

$$(1) B_1: P_i[(A + S + R_1 M + T)B_6 + Y(R_0 + R_1)MB_6' + (K + L) \cdot 0] \rightarrow B_1$$

$$(2) B: P_i[(A + S + R_1 M + L + K + T)L(B) + YM(R_0 + R_1)L(B')] \rightarrow R(B)$$

⑦對C一記錄器

$$(1) C_1: R_0 MP_1(XA_6' + X'A_6) + R_1 P_s MA_6 \rightarrow C_1$$

$$(2) C: R_0 MP_1 + R_1 P_s ML(C) \rightarrow R(C)$$

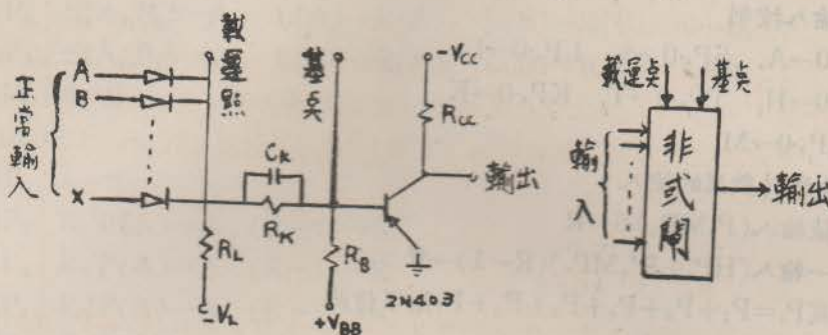
### 三、線路設計

關於實際上線路，採用TDL(Transistor Diode Logic)之型式，如用DCTL(Direct Coupled Transistor Logic)則所需電晶體太多，而線路過於敏感，不易控制，如用RTL(Resistor Transistor Logic)則電壓及電流不易準確控制，增加設計上的困難，故決採用TDL型式的電路，通常電晶體之工作在飽和範圍(Saturation Region)之內，所用的邏輯標準，以負5到負6伏特代表邏輯上的“0”，以0伏特到

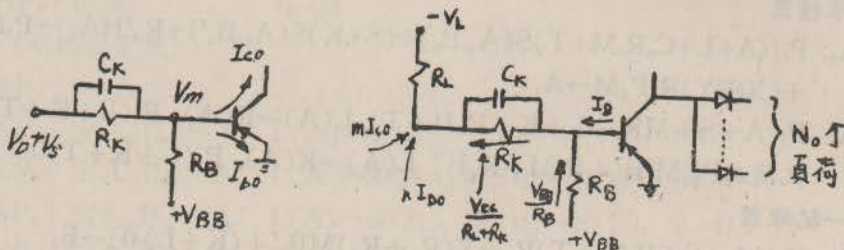
負0.5伏特代表邏輯上的“1”。

### (一) 基本線路設計

此處所謂基本線路乃指計算機中不可缺少的一些單元線路，如反相器、正反器、及閘、或閘、非及閘、非或閘等等。限於篇幅，無法將其設計內容，一一詳述。茲舉二例，以爲說明，一爲非或閘(NOR Gate)，一爲正反器，其他線路均仿此原理設計。



圖七 非或閘之線路圖及方塊圖



圖八 断路情況等值電路

圖九 通路情況等值電路

### 甲、非或閘之設計

非或閘之線路圖及方塊圖可由圖七表示。其中 $R_K$ 是限制電流電阻，以控制電晶體之飽和度。 $C_K$ 爲改良暫態反應之電路，或稱加速電容。此非或閘之設計，在於決定圖中各數值之大小， $V_{CC}$ ， $V_{BB}$ ， $V_L$ 等電源之選擇並無多大限制，通常在電晶體的規格之內皆可，爲考慮負荷及其中消耗能量起見， $V_{CC}$ 及 $V_L$ 用負六伏，而 $V_{BB}$ 用正六伏電源，因此決定 $R_L$ ， $R_K$ ， $R_{CC}$ ， $C_K$ ， $R_{BB}$ 爲設計此非或閘之主題，這些數值之大小；通常係由其可能工作範圍之內，選擇一適當之工作點，作決定其數值之根據。如輸入輸出比之大小，反應速率，溫度等等都是考慮的因素。設若輸入輸出比值(Fan in-Fan out Ratio)爲主，則電晶體應供應電流爲

$$I_{max} = \frac{5V_L}{R_L} \quad (1)$$

線路反應之速率，主要決定於分散電路各處游離電容之大小，故  $R_L$  越小，其反應速率越可提高，但電晶體電流必需加以限制，故  $R_L$  仍需具相當大之數值，現選  $R_L = 1K\Omega$ ，則  $I_{max} = -30ma$ ，約為略小於最大規格電流之半。 $R_{co}$  之值由負荷大小來決定，其大小約在  $100\Omega$  到  $200\Omega$  之間。 $R_K$  及  $R_B$  是決定線路堆動能力之電阻，其計算法如下：

①當電晶體斷路時 (Off State) 其等值電路如圖八。圖中  $V_D$  為二極體之正向降壓， $V_s$  為電晶體之飽和降壓：(因前及議為電晶體推動)  $V_m$  為一正電壓，使電晶體成斷路，根據此圖，用最壞情況設計法 (Worst Case Design) 得下列不等式。

$$\frac{V_{BB}}{R_B} \geq \frac{\bar{V}_D + \bar{V}_s}{R_K} + \bar{I}_{CO} + \bar{I}_{EO} \quad (2)$$

式中右邊各項對溫度之改變影響甚小，大致上可互相抵消，如  $V_D$  為  $-2mV/C$  而  $I_{eo}$  為 (雙倍)  $/8^\circ C$ 。

②當電晶體為通路 (ON) 時，其等值電路如圖九，圖中  $m$  為輸入端之電晶體數目， $n$  為輸入端 "O" 之數目， $N_o$  為輸出負荷之總數，由此圖中用最壞情況設計法，得下式。

$$\begin{aligned} \beta_F \left[ \frac{V_L}{R_L + R_K} - \frac{\bar{R}_L}{R_L + R_K} (m\bar{I}_{CO} + n\bar{I}_{DO}) - \frac{V_{BB}}{R_B} \right] \\ \geq \left[ \frac{\bar{V}_L - (\bar{V}_D + \bar{V}_s)}{R_L} - \frac{V_m + V_D + V_s}{R_K} \right] \end{aligned} \quad (3)$$

式中  $\beta_F$  為電晶體飽和情況下之電流增益 (對 2N403,  $\beta_F \doteq 17.5$  當  $V_{CC} = -6$ ， $R_L = 1K$ ) 計算時  $V_D = V_s = 0.3v$  (因無規格可查) 而  $V_{Dmax}$  在  $55^\circ C$  時約為  $0.4v$ 。由(2)及(3)式可計算  $R_B$  及  $R_K$ ，計算方法甚多，可應用計算機繪出  $R_K$  及  $R_B$  之上下限以求  $R_K$  及  $R_B$  之值。或可由一假設  $R_K$  之值求  $R_B$  之值再由  $R_B$  之值求回  $R_K$  之值，做這一步一步之嘗試解法 (Cut & Try method) 求  $R_B$  及  $R_K$ ，現解出  $R_B$  及  $R_K$  值，如圖中所示。

一般而言， $R_K$  多半取一可用之較大值，以減少負荷電流。

關於  $C_K$  之大小，決定於電晶體內所存電量之大小，對 2N403 而言，在  $55^\circ C$  時其儲存量約為 300 到 400 濮微庫倫，其最大電量存在於 (甲) 最大  $I_B$  時，(乙) 最大  $I_C$  時，(丙) 最高溫度時，故可由下列各式計算之。

$$\bar{I}_B = \frac{\bar{V}_L}{R_L + R_K} - \frac{\bar{R}_L}{R_L + R_K} (m\bar{I}_{CO} + n\bar{I}_{EO}) - \frac{V_{BB}}{R_B} \quad (4)$$

$$\bar{I}_C = \frac{\bar{V}_L - (\underline{V}_D + \underline{V}_S)}{\underline{R}_L} - \frac{\underline{V}_m + \underline{V}_D + \underline{V}_S}{\underline{R}_K} \quad (5)$$

在最壞情況下， $C_K$ 之二端電壓爲

$$\underline{V}_c = \bar{V}_{cc} \frac{\underline{R}_K}{\underline{R}_L + \underline{R}_K} - (mI_{co} + nI_{do}) \frac{\underline{R}_L \underline{R}_K}{\underline{R}_L + \underline{R}_K} - (\underline{V}_D + \underline{V}_S) \quad (6)$$

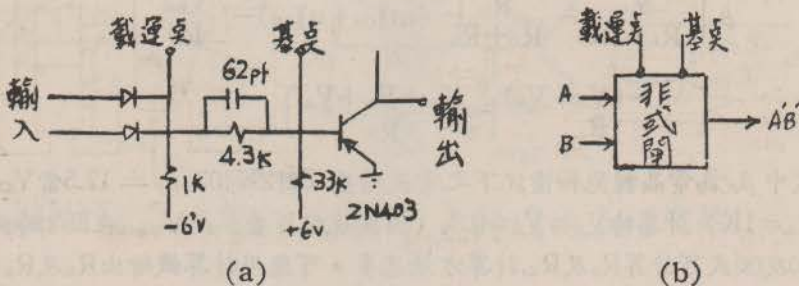
因  $C_K$  中儲存之電量至少與電晶體內電量相等故

$$(C_K V_c) \geq \bar{Q} - \frac{V_{BB}}{R_B} T \quad (7)$$

或中  $\bar{Q}$  為電晶體內最大存電量， $T$  為反相過度時期之時間長度，故  $\frac{V_{BB}}{R_B} T$  為過度期  $T$  中由  $V_{BB}$  供應反相電流所消去電晶體內之電容，由(4)(5)(6)(7)各式，設  $I_{co} = I_{do} = 0$ ,  $\underline{V}_D + \underline{V}_S = 0.55V$ , 及  $T = 0.1\mu s$ , 而各電源及電阻之準確量皆爲 5% (Tolerance) 則算出  $G_K \dot{=} 62\mu\mu f$

### 乙、正反器之設計

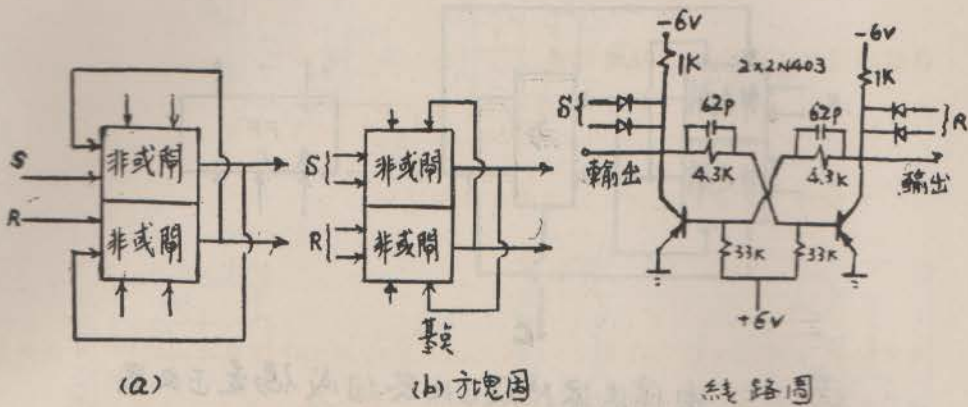
正反器是計算機內構成記錄器之最基本單元。正反器之線路可單獨設計，亦可由二個非或閘組合而成。其組合之方法，也有好幾種，本節即討論如何用非或閘組合成正反器。前節討論之非或閘，若僅有二輸入時其構造如圖十所示。由圖十之非或閘，組成正反器方法有二，如圖十一所示。



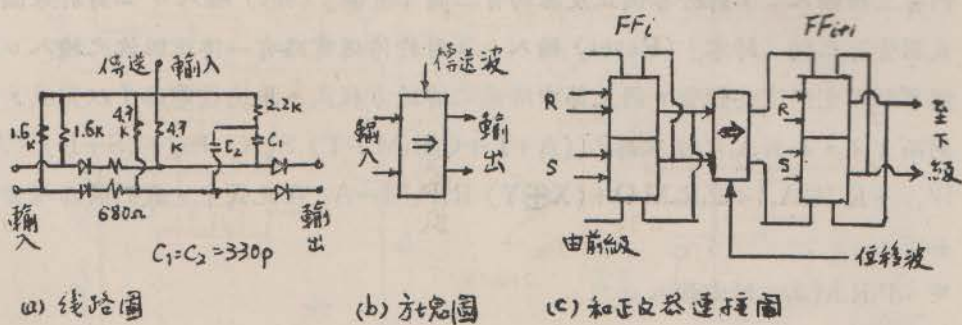
圖十 兩輸入之非或閘

圖十一(b)之連接法較(a)爲佳，因爲回饋線上不需用二極體，故可直接接於底極，而可以節省一個輸入。

爲化簡正反器間傳送的問題，設計了一個傳送電路，此傳送電路如圖十二所示。在圖十二中，假設輸入之值在上一條線中爲“1”(0伏特)，而下面一條中爲“0”(-6伏特)，則  $C_1$  兩端有 6 伏特之電壓，而  $C_2$  上則無。此時若有一傳送脈波來時，則  $C_1$  有一正脈波輸出而  $C_2$  則無。故可將前級資料，傳送至次級。

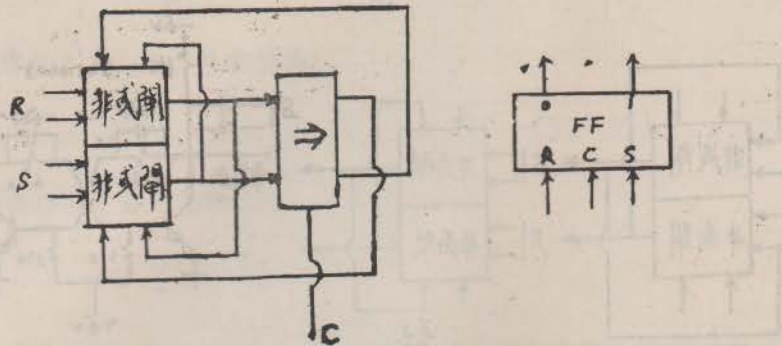


圖十一 由非或閘組成正反器



圖十二 傳送線路及其應用

圖中二極體有二作用，一為避免電流回輸，二為孤立正反器，使之不受傳送電路之負荷影響。由此傳送電路正反器中資料，在傳送時將不受影響，但用此電路時，需注意的是它有一定的延時，其延時約在 $5\mu s$ 。偶變正反器(Compliment Flip-flop)亦可由傳送電路及正反器組成，其構造如圖十三所示。



圖十三 由傳送線路及正反器組成偶變正反器

## (二) 計算機線路之完成。

由上述各種正反器，我們可以看到，當它們與傳送電路連接成位移記錄器時，它們有三種輸入：1.對於各個正反器均有二個「置值」(set) 輸入。2.對於每個正反器皆有二個「歸零」(Reset) 輸入。3.對於傳送電路有一傳送脈波之輸入。我們可利用它們這些性質，將上節中所述之傳送方程式，用這種電路予以完成，舉例而言之，如對  $A_1$  之輸入為  $P_i[(A+L+C_6R_iM+T)S(A_6, B_6)+(S+K)S(A_6, B'_6)+R_o'HA_6]+P_iR_oM \cdot O+(X \oplus Y)R_iP_iM \rightarrow A_1$  在此式中，我們將各項分類如下：

甲、 $P_iR_oM$  為一歸零輸入。

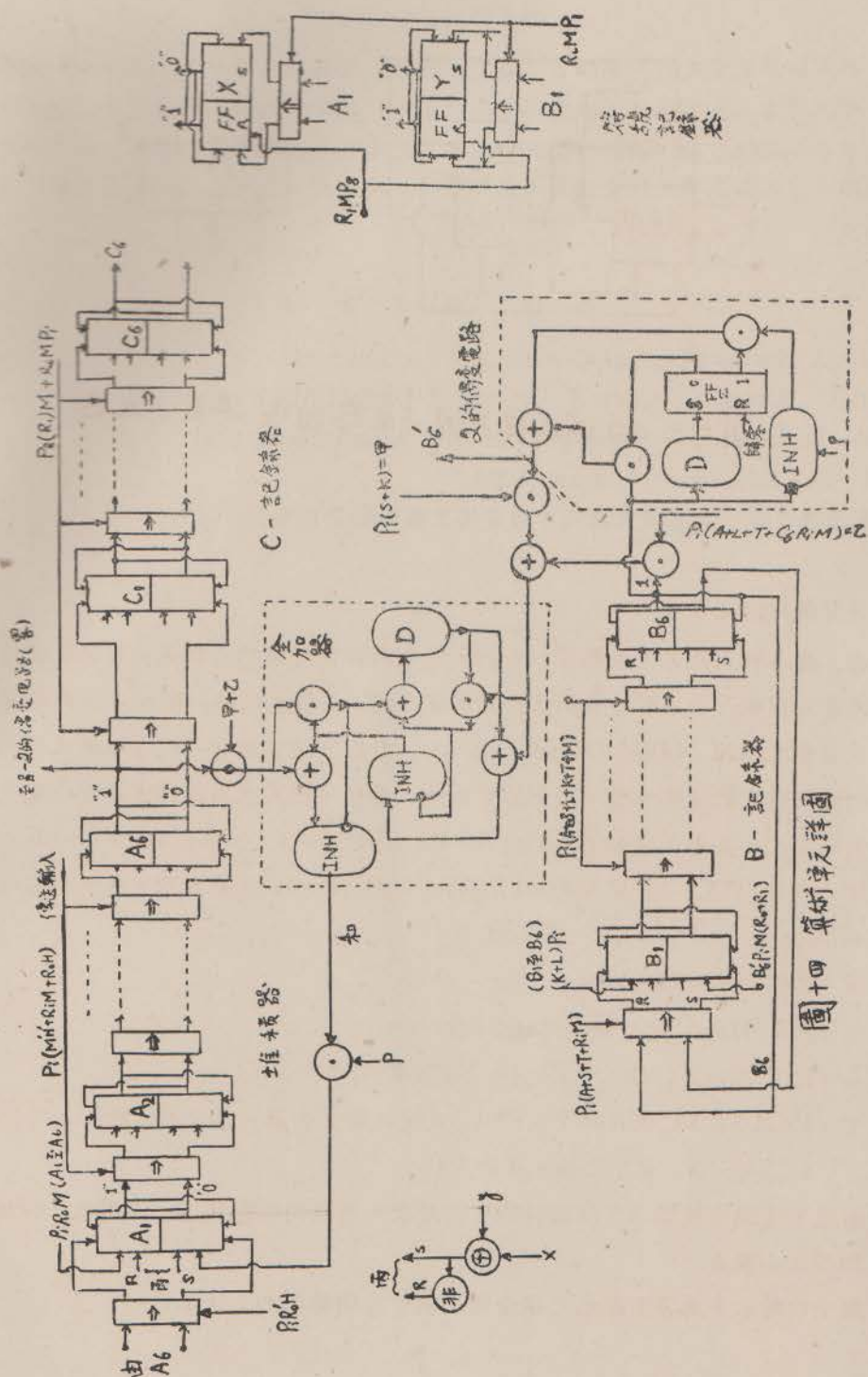
乙、 $P_iR_o'H$  為  $A_6$  與  $A_1$  間之傳送脈波輸入。

丙、 $R_iP_i$  為一置位輸入它將  $X \oplus Y$  之值置於  $A_1$  中。

丁、 $P_i(A+L+C_6MR_i+T+S+K)$  為連接於全加器一端之置值輸入，將  $S(A_6, B'_6)$  或  $S(A_6, B'_6)$  之值，置於  $A$  中。

由此，這個堆積器  $A$  可以很快的建立起來，其餘的各部機件，亦用此法分析後，即可立刻裝連。

圖十四所示，為算術單元之構造圖，圖中各項輸入如上法求得。



#### 四、結論

此算術單元完成後，曾做若干實驗，最快之操作頻率可達  $100\text{kc/sec}$ ，頻率再高，即不可靠，究其原因，主要為電晶體本身反應太慢，若用較好之電晶體，當可改良甚多。其他方面，尚稱理想。唯較之實用之計算機內的算術單元，則其構造實為簡陋。然而計算機原理之應用，由此可以說明絕大部份，故用以教學說明，甚為理想。

#### 附錄參考資料

1. T. C. Bartec ; Digital Computer Fundamentals, 1960
2. T. C. Bartec ; Theory & Design of Digital Machines, 1962
3. W. D. Roehr ; Switching Transistor Hand book, 1963
4. G. E. ; Transistor Manual, 1964
5. 蕭慕岳；電子計算機原理（中國電機工程師學會出版），1963